

# ANALISIS RESETTING PROTEKSI OVER CURRENT RELAY, GROUND FAULT RELAY DAN RECLOSER PADA PENYULANG ABANG DAN FEEDER AMED SETELAH REKONFIGURASI

A. A. Gde Agung Semarabawa<sup>1</sup>, Tjok. Gede Indra Partha<sup>2</sup>, I Gede Dyana Arjana<sup>3</sup>  
Program Studi Teknik Elektro, Fakultas Teknik, Universitas Udayana  
Email : [gungsemara55@gmail.com](mailto:gungsemara55@gmail.com)<sup>1</sup>, [cokindra@unud.ac.id](mailto:cokindra@unud.ac.id)<sup>2</sup>, [dyanaarjana@ee.unud.ac.id](mailto:dyanaarjana@ee.unud.ac.id)<sup>3</sup>

## Abstrak

Penyulang Abang menerima pasokan energi listrik dari trafo II 30 MVA GI Amlapura dengan panjang saluran 23 kms, memiliki 67 gardu distribusi dengan data losses sebesar 0,574 MW. Pengurangan losses, peningkatan keandalan dan kontinyuitas, salah satu cara yang dilakukan adalah rekonfigurasi penyulang. Rekonfigurasi penyulang yang dilakukan akan mempengaruhi nilai dari impedansi penyulang, sehingga diperlukan *resetting* sistem proteksi Over Current Relay, Ground Fault Relay dan Recloser. *Resetting* proteksi OCR feeder Amed didapat nilai  $t = 0,1$  detik, OCR recloser Tirtagangga didapat nilai  $t = 0,2$  detik, dan OCR penyulang Abang didapat nilai  $t = 0,3$  detik. *Resetting* proteksi GFR feeder Amed didapat nilai 0,1 detik, GFR recloser Tirtagangga 0,2 detik, dan GFR penyulang Abang 0,3 detik. Hasil simulasi dengan menggunakan program ETAP diketahui koordinasi OCR, GFR dan recloser sudah bekerja dengan baik dengan nilai *grading time*  $\geq 0,3$  detik, sehingga tidak akan menyebabkan terjadinya *overlap* ataupun *trip* secara bersamaan.

**Kata Kunci:** Resetting, OCR, GFR, Recloser.

## Abstract

*Abang feeder receives electricity supply from transformer II 30 MVA GI Amlapura with a line length of 23 kms and has 67 distribution substations with data losses of 0,574 MW. Reducing losses, increasing reliability and continuity, one way to do this is to reconfigure feeders. The feeder reconfiguration will affect the value of the feeder impedance, so the resetting of the Over Current Relay, Ground Fault Relay and Recloser protection systems is needed. Resetting the protection of Amed OCR feeder obtained  $t$  value = 0.1 seconds, OCR recloser Tirtagangga obtained  $t$  value = 0.2 seconds, and Oang feeder Abang obtained  $t$  value = 0.3 seconds. Resetting the protection of the Amed GFR feeder obtained a value of 0.1 seconds, GFR recloser Tirtagangga 0.2 seconds, and GFR feeder Abang 0.3 seconds. The simulation results using the ETAP program are known to coordinate OCR, GFR and recloser already working well with grading time values  $\geq 0.3$  second, so it will not cause overlap or trip simultaneously.*

**Keywords:** Resetting, OCR, GFR, Recloser.

## 1. PENDAHULUAN

Meningkatnya aktivitas kehidupan manusia secara langsung akan mengakibatkan tingginya permintaan energi listrik.[1] Semakin meningkatnya kebutuhan akan tenaga listrik maka sistem tenaga listrik dituntut mempunyai peningkatan keandalan dalam penyediaan dan penyaluran dayanya pada suatu jaringan distribusi.[2] Penyulang Abang merupakan penyulang

yang menerima suplai energi listrik dari trafo II 30 MVA GI Amlapura dengan panjang saluran 23 kms dan memiliki 67 gardu distribusi.

Berdasarkan data dari PT. PLN (Persero) Area Jaringan Bali Timur, losses penyulang Abang sebesar 0,574 MW[3], untuk menjaga keandalan penyulang, kontinyuitas dan mengurangi losses salah satu cara yang dilakukan adalah



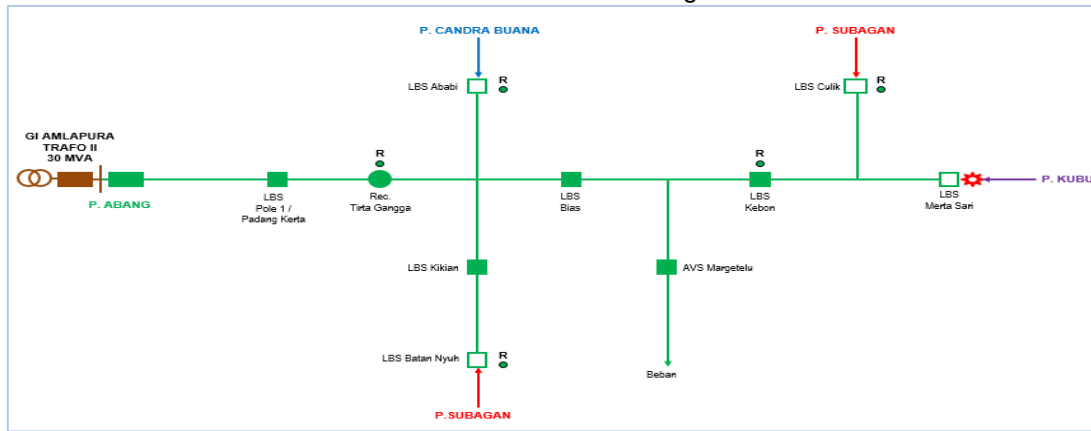
- setelah dilakukan rekonfigurasi penyulang.
- Menghitung besar arus gangguan hubung singkat 3 fasa, 2 fasa dan 1 fasa ke tanah setelah dilakukan rekonfigurasi penyulang.
  - Menghitung setting arus dan waktu kerja relay dan recloser pada penyulang Abang dan feeder Amed setelah dilakukan rekonfigurasi penyulang.
  - Pemodelan sistem ke dalam software ETAP.

- Melakukan simulasi dengan ETAP untuk *setting relay* dan *recloser* berdasarkan waktu kerja yang didapatkan pada perhitungan.
- Mendeskripsikan hasil simulasi *setting relay* dan *recloser* pada ETAP.

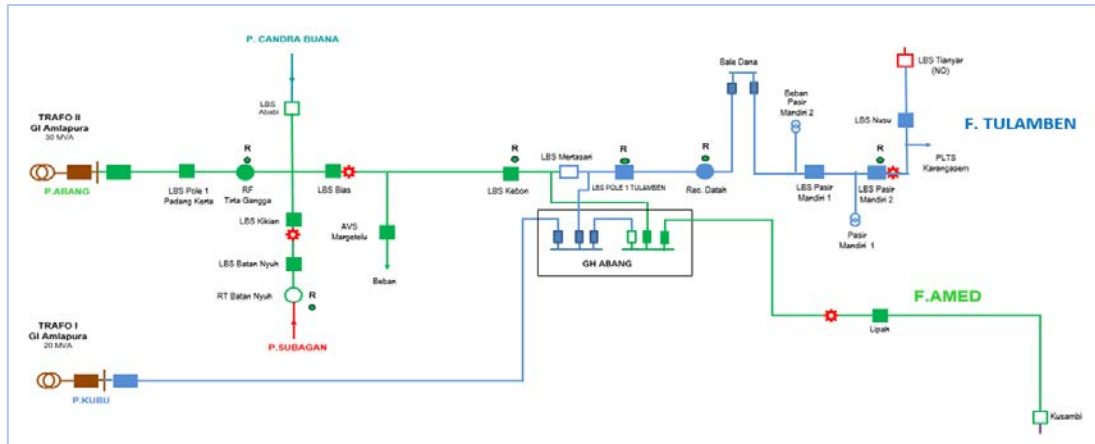
#### 4. HASIL DAN PEMBAHASAN

##### 4.1 Single Line Diagram Penyulang Abang Sebelum dan Setelah Rekonfigurasi

Gambar berikut merupakan SLD penyulang Abang sebelum dan setelah rekonfigurasi.



Gambar 1. Penyulang Abang Sebelum Rekonfigurasi



Gambar 2. Penyulang Abang Setelah Rekonfigurasi

#### 4.2 Perhitungan Impedansi Sumber

Impedansi di bus 150 kV dihitung menggunakan persamaan (5):

$$Z_{150kV} = \frac{150^2}{1582,95} \\ = 14,21 \text{ Ohm}$$

Impedansi sumber disisi 20 kV dihitung menggunakan persamaan (2.6):

$$Z_{s20kV} = \frac{20^2}{150^2} \times 14,21 \\ = 0,256 \text{ Ohm}$$

#### 4.3 Perhitungan Impedansi Trafo

Impedansi trafo, dihitung menggunakan persamaan (6):

$$Z_{tr} \\ = \frac{20^2 \times 11\%}{30000} \\ = \frac{1000}{30000} \\ = 1,46 \text{ Ohm}$$

#### 4.4 Perhitungan Impedansi Penyulang

Penghantar yang digunakan penyulang Abang yaitu kabel tanah NA2XSEFGBY 240 mm<sup>2</sup> 135 m, MVTIC 3x150 mm<sup>2</sup> 1,987 km, dan AAAC/s 3x150 mm<sup>2</sup> 13,213 km, dan pada feeder Amed

menggunakan 2 penghantar kabel tanah NA2XSEFGBY 240 mm<sup>2</sup> 100 m, dan AAAC/s 3x150 mm<sup>2</sup> 15,365 km.

Impedansi jaringan yang digunakan adalah pada titik 1% dan 100% panjang jaringan tiap zona. Nilai impedansi jaringan akan digunakan untuk menghitung impedansi ekivalen. Perhitungan impedansi urutan positif dan urutan negatif pada zona 1 titik 100% adalah sebagai berikut:

$$\begin{aligned} Z_1 = Z_2 &= Z_{1\text{NA2XSEFGBY}} + Z_{1\text{MVTIC}} \\ &= 0,0168 + j0,013 + 0,4093 + \\ &\quad j0,0278 \\ &= 0,4261 + j0,0408 \text{ Ohm} \end{aligned}$$

$$\begin{aligned} Z_0 &= Z_{0\text{NA2XSEFGBY}} + Z_{0\text{MVTIC}} \\ &= 0,0371 + j0,0039 + 0,4093 + j0,2066 \\ &= 0,4464 + j0,2105 \text{ Ohm} \end{aligned}$$

Berdasarkan data dan perhitungan, maka diperoleh nilai impedansi jaringan zona lainnya yang ditunjukkan pada tabel berikut:

**Tabel 1.** Impedansi Jaringan Zona 1, Zona 2, dan Zona 3

Titik Jaringan		$Z_1 = Z_2$ (Ohm)		$Z_0$ (Ohm)	
		R	jX	R	jX
Zona 1	1%	0,004	0,0004	0,004	0,0021
	100%	0,426	0,0408	0,446	0,2105
Zona 2	1%	0,4546	0,0844	0,4943	0,4204
	100%	3,2827	4,4076	5,244	21,5891
Zona 3	1%	3,3161	4,4584	5,3	21,8377
	100%	6,6177	9,4954	10,85	46,4525

#### 4.5 Perhitungan Impedansi Ekivalen

Dengan menggunakan persamaan (9) dan (10) didapatkan nilai impedansi ekivalen urutan positif, negatif dan nol dengan lokasi gangguan dianumsikan terjadi di 1% panjang penyulang zona 1 :

$$\begin{aligned} Z_{1eq} = Z_{2eq} &= Z_{sumber} + Z_{1T} \\ &\quad + Z_{1penyulang1\%} \\ &= j0,256 + j1,46 + 0,004 + j0,0004 \\ &= 0,004 + j1,997 \end{aligned}$$

$$\begin{aligned} Z_{0eq} &= Z_{0T} + 3R_N + Z_{0penyulang1\%} \\ &= j14,6 + 3 \times 40 + 0,0044 + j0,0021 \\ &= 120,004 + j14,602 \end{aligned}$$

Dengan cara yang sama, hasil perhitungan impedansi ekivalen urutan positif, negatif, nol pada titik lokasi gangguan lainnya diperlihatkan seperti pada Tabel 2 dan 3.

**Tabel 2.** Impedansi Ekivalen Jaringan Urutan Positif ( $Z_{1eq}$ ) dan Urutan Negatif ( $Z_{2eq}$ ).

Titik Jaringan	$Z_{1eq} = Z_{2eq}$ (Ohm)		
	R	jX	
Zona 1	1%	0,004	1,717
	100%	0,426	1,756
Zona 2	1%	0,455	1,801
	100%	3,283	6,126
Zona 3	1%	3,317	6,175
	100%	6,618	11,212

**Tabel 3.** Impedansi Ekivalen jaringan Urutan Nol ( $Z_{0eq}$ ).

Titik Jaringan	$Z_{0eq}$ (Ohm)		
	R	jX	
Zona 1	1%	120,004	14,602
	100%	120,446	14,817
Zona 2	1%	120,494	15,024
	100%	125,244	36,181
Zona 3	1%	125,3	36,438
	100%	130,851	61,053

#### 4.6 Perhitungan Gangguan Hubung Singkat

Perhitungan arus gangguan hubung singkat adalah sebagai berikut:

$$\begin{aligned} I_{3\emptyset(20)} &= \frac{V_p}{Z_{1eq}} \\ &= \frac{20000}{\sqrt{3}} \\ &= \frac{0,004 + j1,717}{11,547} \\ &= \frac{11,547}{\sqrt{0,004^2 + 1,717^2}} \\ &= \frac{11,547}{1,71700465} \\ &= 6724,08 \text{ A} \end{aligned}$$

Dengan perhitungan sesuai persamaan (1), (2), (3), didapat hasil arus gangguan hubung singkat di titik lokasi selanjutnya seperti pada tabel berikut.

**Tabel 4.** Arus Gangguan Hubung Singkat 3 Fasa, 2 Fasa dan 1 Fasa terhadap Lokasi Gangguan

Titik Jaringan		$I_{f3fasa}$ (Ampere)	$I_{f2fasa}$ (Ampere)	$I_{f1fasa}$ (Ampere)
Zona 1	1%	6725,08	5824,09	285,44
	100%	6390,38	5534,23	282,38
Zona 2	1%	6216,13	5383,33	282,03
	100%	1661,37	1438,79	246,68
Zona	1%	1647,33	1426,63	246,26

a 3	100 %	886,9	768,07	208,02
-----	-------	-------	--------	--------

#### 4.7 Setting OCR, GFR dan Recloser Kondisi Eksisting

Data setting kondisi eksisting relay OCR, GFR dan recloser adalah sebagai berikut:

**Tabel 5.** Data Setting OCR, GFR dan Recloser Kondisi Eksisting

Setting		Relay Penyulang Abang	Recloser Tirtagangga	Relay Feeder Amed
OCR	I set (A)	300	220	150
	TMS (SI)	0,13	0,06	0,05
	t (s)	0,3	0,1	0,1
GFR	I set (A)	50	40	30
	TMS (SI)	0,25	0,15	0,05
	t (s)	0,99	0,53	0,16

#### 4.8 Perhitungan Waktu Kerja Relay

Perhitungan waktu kerja relay feeder Amed, Recloser Tirtagangga, Penyulang Abang menggunakan persamaan (11) dan (12):

##### 1. Feeder Amed:

###### a. OCR:

$$tms = \frac{0,1 \left[ \left( \frac{1647,33}{125,63} \right)^{0,02} - 1 \right]}{0,14}$$

$$tms = 0,03 SI$$

$$t = \frac{0,14 \times 0,03}{\left[ \frac{1647,33}{125,63} \right]^{0,02} - 1}$$

$$t = 0,1 \text{ detik}$$

###### b. GFR:

$$tms = \frac{0,1 \left[ \left( \frac{246,26}{24,62} \right)^{0,02} - 1 \right]}{0,14}$$

$$t = \frac{0,14 \times 0,03}{\left[ \frac{246,26}{24,62} \right]^{0,02} - 1}$$

$$t = 0,1 \text{ detik}$$

##### 2. Recloser Tirtagangga:

###### a. OCR:

$$tms = \frac{0,2 \left[ \left( \frac{6216,13}{134,88} \right)^{0,02} - 1 \right]}{0,14}$$

$$tms = 0,11 SI$$

$$t = \frac{0,14 \times 0,11}{\left[ \frac{6216,13}{134,88} \right]^{0,02} - 1}$$

$$t = 0,2 \text{ detik}$$

###### b. GFR:

$$tms = \frac{0,2 \left[ \left( \frac{282,03}{28,2} \right)^{0,02} - 1 \right]}{0,14}$$

$$tms = 0,06 SI$$

$$t = \frac{0,14 \times 0,06}{\left[ \frac{282,03}{28,2} \right]^{0,02} - 1}$$

$$t = 0,2 \text{ detik}$$

##### 3. Penyulang Abang:

###### a. OCR:

$$tms = \frac{0,3 \left[ \left( \frac{6725,08}{168,82} \right)^{0,02} - 1 \right]}{0,14}$$

$$tms = 0,16 SI$$

$$t = \frac{0,14 \times 0,16}{\left[ \frac{6725,08}{168,82} \right]^{0,02} - 1}$$

$$t = 0,3 \text{ detik}$$

###### b. GFR:

$$tms = \frac{0,3 \left[ \left( \frac{285,44}{28,41} \right)^{0,02} - 1 \right]}{0,14}$$

$$tms = 0,1 SI$$

$$t = \frac{0,14 \times 0,1}{\left[ \frac{285,44}{28,41} \right]^{0,02} - 1}$$

$$t = 0,3 \text{ detik}$$

Berdasarkan perhitungan yang dilakukan, didapatkan hasil nilai waktu kerja relay OCR, GFR dan recloser seperti pada tabel 6 berikut.

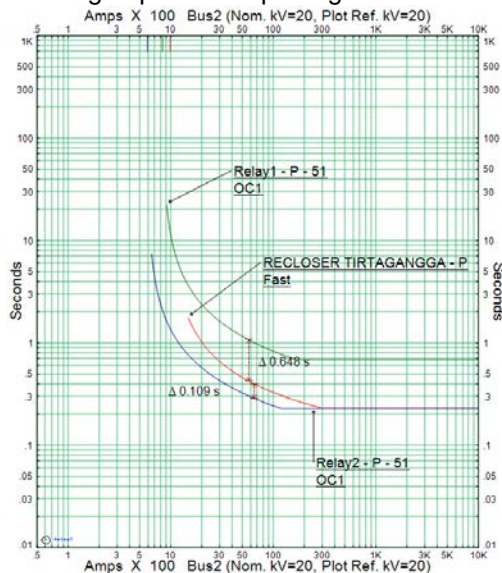
**Tabel 6.** Data Setting OCR, GFR dan Recloser Hasil Perhitungan

Setting		Relay Penyulang Abang	Recloser Tirtagangga	Relay Feeder Amed
OCR	Iset (A)	168,82	134,88	125,63
	TMS (SI)	0,16	0,11	0,03
	t (s)	0,3	0,2	0,1
GFR	Iset (A)	28,41	28,2	24,62
	TMS (SI)	0,1	0,06	0,03

	t (s)	0,3	0,2	0,1
--	-------	-----	-----	-----

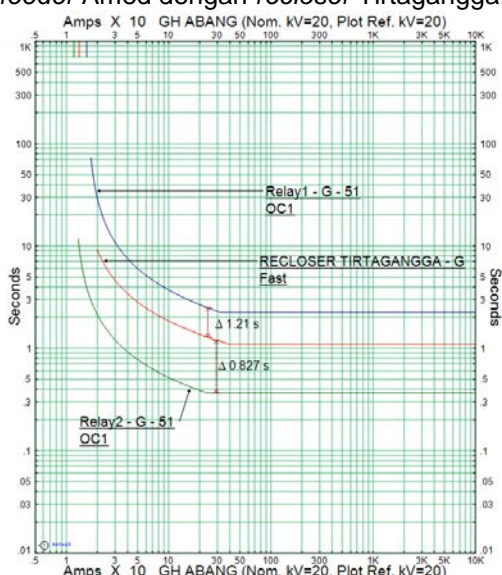
#### 4.9 Analisis Kordinasi OCR, GFR dan Recloser Kondisi Eksisting

Kurva koordinasi *relay* kondisi eksisting dapat dilihat pada gambar berikut.



Gambar 3. Kurva Koordinasi OCR Kondisi Eksisting

Kurva koordinasi OCR kondisi eksisting pada Gambar 3 dapat dilihat bahwa *grading time* antara *relay* *feeder* Amed (biru) dengan *recloser* Tirtaganga (merah) masih berada dibawah 0,3 detik, ini menunjukkan kurangnya tingkat selektifitas sistem proteksi. Kesalahan koordinasi *setting* OCR juga ditunjukkan dengan adanya kurva yang berhimpit antara *relay* *feeder* Amed dengan *recloser* Tirtaganga.

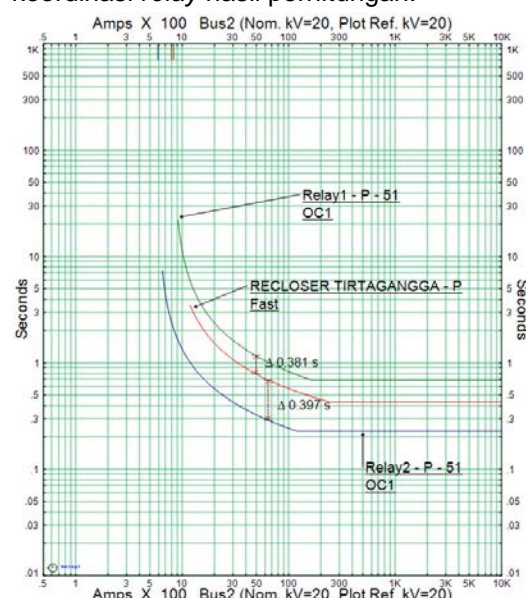


Gambar 4. Kurva Koordinasi GFR Kondisi Eksisting

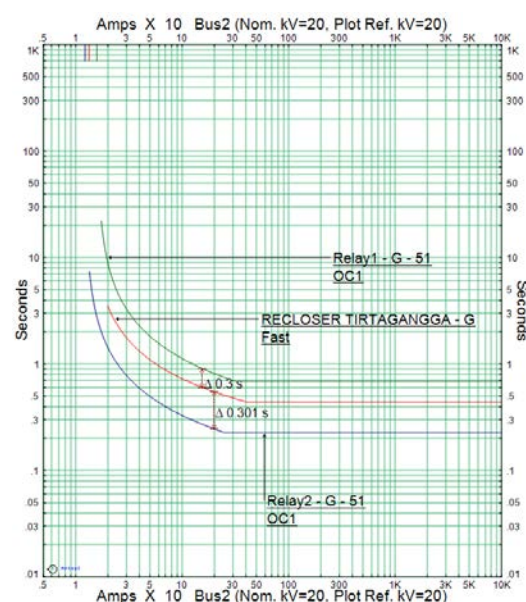
Kurva koordinasi GFR kondisi eksisting pada Gambar 4 dapat dilihat bahwa selektifitas sistem proteksi hubung singkat pada penyulang Abang dan *feeder* Amed sudah baik. *Grading time* antara ketiga *relay* tersebut bernilai  $\geq 0,3$  detik detik sehingga tidak akan menyebabkan terjadinya *overlap* ataupun bekerja secara bersamaan.

#### 4.10 Analisis Kordinasi OCR, GFR dan Recloser Hasil Perhitungan

Berikut merupakan gambar kurva koordinasi *relay* hasil perhitungan:



Gambar 5. Kurva Koordinasi OCR Hasil Perhitungan



**Gambar 6.** Kurva Koordinasi GFR Hasil Perhitungan

Berdasarkan kurva koordinasi OCR dan GFR hasil perhitungan pada Gambar 5 dan 6 dapat dilihat bahwa *grading time* antara ketiga *relay* tersebut bernilai  $\geq 0,3$  detik sehingga tidak akan menyebabkan terjadinya *overlap* atau bekerja secara bersamaan. Hal ini menunjukkan selektifitas sistem proteksi hubung singkat pada penyulang Abang dan *feeder* Amed sudah baik.

Koordinasi OCR, GFR dan *recloser* hasil perhitungan penyulang Abang dan *feeder* Amed dapat dianalisis bahwa, karena penyulang Abang dan *feeder* Amed masih tersuplai dalam 1 sumber maka harus dilakukan *resetting* proteksi untuk menjaga keandalan dan kontinyuitas penyulang dengan setting waktu kerja *relay feeder* Amed 0,1 detik, *recloser* Tirtagangga 0,2 detik dan penyulang Abang 0,3 detik. Dengan *setting* waktu kerja tersebut maka *grading time* hasil kurva koordinasi yang didapat berada pada nilai  $\geq 0,3$  detik akan memberikan kesempatan *relay* untuk memerintahkan *circuit breaker* (CB) bekerja, sehingga tidak menyebabkan peralatan proteksi di sisi hulunya bekerja terlebih dahulu (*overlap*) atau bekerja secara bersamaan. Koordinasi sistem proteksi yang memenuhi syarat selektif, cepat, dan andal akan meminimalisir luasnya daerah padam.

## 5. SIMPULAN

Berdasarkan hasil analisis yang telah dilakukan, maka dapat disimpulkan beberapa hal sebagai berikut:

1. Koordinasi *setting* OCR kondisi eksisting *relay feeder* Amed dengan *recloser* Tirtagangga masih kurang baik. Selisih waktu kerja (*grading time*) antara *relay feeder* Amed (biru) dengan *recloser* Tirtagangga (merah) masih sangat kecil, ini menunjukkan kurangnya tingkat selektifitas sistem proteksi. *Grading time* ini berpotensi terjadinya *trip* bersamaan antara *relay* OCR *feeder* Amed dengan *recloser* Tirtagangga.
2. *Resetting* proteksi OCR *feeder* Amed didapat nilai  $t = 0,1$  detik, OCR *recloser* Tirtagangga didapat nilai  $t = 0,2$  detik, dan OCR penyulang Abang didapat nilai  $t = 0,3$  detik. *Resetting* proteksi GFR *feeder* Amed didapat nilai 0,1 detik, GFR *recloser* Tirtagangga 0,2 detik, dan

GFR penyulang Abang 0,3 detik. Selektifitas sistem proteksi sudah memenuhi syarat sistem proteksi yang baik dengan nilai *grading time* 0,3 detik.

## 6. DAFTAR PUSTAKA

- [1] Iswara I K. Windu, Arjana G. Dyana dan Wijaya W. Artha. Analisa *Setting Relai Pengaman Akibat Rekonfigurasi Pada Penyulang Blahbatuh*. E-Jurnal SPEKTRUM. Vol. 2, No. 2 Juni 2015: 74.
- [2] Wicaksono Henki Projo, Hernanda I.G.N. Satriyadi, dan Penangsang Ontoseno. Analisis Keandalan Sistem Distribusi Menggunakan Program Analisis Kelistrikan Transien dan Metode *Section Technique*. JURNAL TEKNIK ITS Vol. 1, No. 1 (Sept. 2012): B-153.
- [3] PT. PLN (Persero) Area Bali Timur, "Data Aset Distribusi PT. PLN (Persero) Area Bali Timur," PT. PLN (Persero), 2018.
- [4] Fajar Pranayuda, Achmad Solichan, M.Toni Prasetyo. Analisis Penyetelan Proteksi Arus Lebih Penyulang Cimalaka Di Gardu Induk 70 Kv Sumedang. Media Elektrika, Vol. 5 No. 2, Desember 2012: 12.
- [5] Ngedi Temi Timotius D. Penggunaan Over Current Relay Dalam Sistem Tenaga Listrik. Makalah Proteksi Sistem Tenaga Listrik. Kupang. 2016: 5.
- [6] Indra Gunawan. Analisa *Resetting Over Current Relay Dan Ground Fault Relay Pada Trafo 60 MVA 150/20 Kv Dan Penyulang 20 Kv Gardu Induk Padang Sambian*. Universitas Udayana. Bukit Jimbaran. 2018.
- [7] Nasrul, St., M. Kom. Setting Relai Gangguan Tanah (Gfr) Outgoing Gh Tanjung Pati Feeder Taram Pt. Pln (Persero) Rayon Lima Puluh Kota. Jurnal Teknik Elektro Itip, Vol. 6, No. 2, Juli 2017: 182.
- [8] Mega Firdausi N, Hery Purnomo, Ir., M.T., Teguh Utomo, Ir., M.T. Analisis Koordinasi Rele Arus Lebih Dan Penutup Balik Otomatis (*Recloser*) Pada Penyulang Junrejo 20 Kv Gardu Induk Sengkaling Akibat Gangguan Arus Hubung Singkat. Universitas Brawijaya: 3.